

在强磁场中金属薄膜的超导电理论(II)*

——超导薄膜的临界磁场——

雷 嘯 霖 吳 抗 生

提 要

在本文中,作者根据前文^[1]的理论,计算了超导薄膜的二级相变临界磁场,求出 $(\Delta t)^{3/2}$ 级修正项(磁场平行于膜的表面, $\Delta t = 1 - \frac{T}{T_c}$)。所得结果与 Douglass-Blumberg 以及 Toxen 实验资料符合。

一、引 言

本文是文献[1]的继续。本文中,我们将对超导薄膜的二级相变临界磁场作进一步的讨论,并将理论结果与实验进行比较。

超导薄膜在磁场中的相变问题早已有过很多的研究。London^[2]最早根据他的理论计算了超导膜的临界磁场。对于很薄的膜($d \ll \delta_0(T)$),其结果是¹⁾

$$\frac{H_c}{H_{cM}(T)} = \sqrt{3} \frac{\delta_0(T)}{d}. \quad (1)$$

以后, Гинзбург-Ландау^[3] (以下简称 ГЛ) 在他们的强场超导电理论中更加仔细地讨论了这个问题。ГЛ 的理论预言: 厚度 $d < d_c$ ($d_c = \frac{\sqrt{5}}{2} \delta_0$) 的薄膜在磁场中的相变是二级相变, 二级相变的临界磁场是

$$\frac{H_c}{H_{cM}(T)} = \sqrt{6} \frac{\delta_0(T)}{d}. \quad (2)$$

但近年来不少实验^[4-6]发现, 对于足够薄的超导膜, 不仅 London 理论的公式(1), 而且 ГЛ 理论的公式(2)也是不正确的。例如, Douglass-Blumberg^[6] (以下简称 DB) 不久前对厚度从 1.9×10^{-6} cm 到 4.3×10^{-5} cm 的一系列 Sn 膜样品的临界磁场作了很精细的测量, 他们把测量结果写成下列经验公式 (T_c 附近):

$$H_c(\text{gauss}) = 1510 \frac{\delta(0, d)}{2d} (\Delta t)^{1/2} (1 + \epsilon \Delta t), \quad (3)$$

其中 $\delta(0, d)$ 和 ϵ 是与温度无关的参量; $\Delta t = 1 - \frac{T}{T_c}$ 。DB 给出的 $\delta(0, d)$ 是随 d 显著变化的, 当 $d = \infty$ 时, $\delta(0, d) = 5.1 \times 10^{-6}$ cm (这是一般所接受的 $T = 0^\circ\text{K}$ 大样品 Sn 的穿透深度), 但随 d 的减少, $\delta(0, d)$ 迅速增加。至于 ϵ , DB 只给出了其中几个样品的

* 1963年9月9日收到。

1) 本文所用的符号与文献[1]相同。

結果,其数值介于 0—0.31 中間,并且也随 d 明显地变化.

这些結果是 ΓJI 理論所不能解释的. 因为在 ΓJI 理論中, δ_0 是大样品的穿透深度,它不依赖于膜的厚度,因而薄膜的临界磁場只可能是 $H_c \sim d^{-1}$, 但 DB 的結果却表明 H_c 随 d 的变化要比 d^{-1} 更快. 从数字上来看,对于薄膜, DB 測得的 $\delta(0, d)$ 的值比 ΓJI 理論中相应的量 $\delta_0(0)$ 的值要大得多. 例如,对厚度約为 3×10^{-6} cm 的薄膜, ΓJI 理論值只有实验值的四分之一. 至于 ϵ , 按照 ΓJI 理論 (ΓJI 理論中的参数用 Горьков 所得的公式代入), 不难証明, $\epsilon = -0.75$, 这在定性上都是与实验不符的.

由于理論和实验的分歧, 促使很多作者^[5-8] 对这个問題进行了新的研究. 他們实际上意識到了理論与实验不符的原因是由于当膜的厚度足够小 ($d < \xi_0$) 时, 即使相当接近 T_c , $\mathbf{j}(r)$ 和 $\mathbf{A}(r)$ 的关系都是非局域的. 他們企图把 London 方程或 ΓJI 方程进行适当的修改, 希望把非局域效应引入到局域的 London 理論或者局域的 ΓJI 理論中去. 例如, Tinkham^[7] 认为在薄膜的情形, 方程(1)或方程(2)中的穿透深度 $\delta_0(T)$ 应当用“薄膜的有效穿透深度”

$$\delta(T, d) = \delta_0(T) \left(1 + \frac{\xi_0}{2d} \right) \quad (4)$$

来替代. DB^[6] 指出, 如果方程(2)进行上述修改, H_c 和 d 的关系可以和实验一致. Ittner^[5] 也进行过类似的工作. 在文献[8]中, Toxen 利用 ΓJI 理論把 H_c 表示成磁矩的函数, 而磁矩又用非局域的 Pippard-Schrieffer 理論^[9] 給出的公式計算, 当把这两个完全不同的理論綜合起来以后, 发现可以得到和实验符合的結果. 但是, 所有这些工作都有一个缺点, 即对 ΓJI 理論所作的修改缺乏理論根据.

在文献[1]中, 我們給出了强磁場中薄膜的超导电理論, 計算了超导薄膜的二級相变临界磁場. 本文中, 我們把文献[1]中的临界磁場計算作了改进, 求得包含 $(\Delta t)^{3/2}$ 修正項的临界磁場表达式(第二节). 把理論的結果和 DB^[6] 以及 Toxen^[7] 的实验数据进行了比較, 符合程度是令人滿意的(第三节).

二、临界磁場

在文献[1]的第七节中, 我們討論了超导薄膜在磁場中的相变問題, 得到如下結論: $d < d_c$ 的超导膜在磁場中的相变是二級的¹⁾, 二級相变的临界磁場由下列方程决定:

$$K - 2d = 0, \quad (5)$$

其中

$$K = |g|kT \sum_{\omega} \iint d\mathbf{l} d\mathbf{r}_1 \tilde{G}_{\omega}^0(\mathbf{l}, \mathbf{r}) \tilde{G}_{-\omega}^0(\mathbf{l}, \mathbf{r}). \quad (6)$$

(6)式中的 $\tilde{G}_{\omega}^0(\mathbf{r}, \mathbf{r}')$ 是磁場中的正常电子 Green 函数, 它的表示式是

$$\begin{aligned} \tilde{G}_{\omega}^0(\mathbf{r}, \mathbf{r}') &= G_{\omega}^0(\mathbf{r}, \mathbf{r}') + \int d\mathbf{l} G_{\omega}^0(\mathbf{r}, \mathbf{l}) \frac{ie\hbar}{mc} A(l_1) \frac{\partial}{\partial l_2} G_{\omega}^0(\mathbf{l}, \mathbf{r}') + \\ &+ \iint d\mathbf{l} d\mathbf{m} G_{\omega}^0(\mathbf{r}, \mathbf{l}) \frac{ie\hbar}{mc} A(l_1) \frac{\partial}{\partial l_2} G_{\omega}^0(\mathbf{l}, \mathbf{m}) \frac{ie\hbar}{mc} A(m_1) \frac{\partial}{\partial m_2} G_{\omega}^0(\mathbf{m}, \mathbf{r}') + \end{aligned}$$

1) 实验也証实了这个結論^[10].

$$\begin{aligned}
& + \iiint d\mathbf{l} d\mathbf{m} d\mathbf{s} G_{\omega}^0(\mathbf{r}, \mathbf{l}) \frac{ie\hbar}{mc} A(l_1) \frac{\partial}{\partial l_2} G_{\omega}^0(\mathbf{l}, \mathbf{m}) \frac{ie\hbar}{mc} A(m_1) \frac{\partial}{\partial m_2} G_{\omega}^0(\mathbf{m}, \mathbf{s}) \times \\
& \quad \times \frac{ie\hbar}{mc} A(s_1) \frac{\partial}{\partial s_2} G_{\omega}^0(\mathbf{s}, \mathbf{r}') + \\
& + \iiint d\mathbf{l} d\mathbf{m} d\mathbf{s} d\mathbf{z} G_{\omega}^0(\mathbf{r}, \mathbf{l}) \frac{ie\hbar}{mc} A(l_1) \frac{\partial}{\partial l_2} G_{\omega}^0(\mathbf{l}, \mathbf{m}) \frac{ie\hbar}{mc} A(m_1) \frac{\partial}{\partial m_2} G_{\omega}^0(\mathbf{m}, \mathbf{s}) \times \\
& \quad \times \frac{ie\hbar}{mc} A(s_1) \frac{\partial}{\partial s_2} G_{\omega}^0(\mathbf{s}, \mathbf{z}) \frac{ie\hbar}{mc} A(z_1) \frac{\partial}{\partial z_2} G_{\omega}^0(\mathbf{z}, \mathbf{r}') + \\
& \quad + \dots
\end{aligned}$$

根據文獻[1]的結果, $A(r_1) = H_0(r_1 - d) + \tilde{A}(r_1)$, 而 $\tilde{A}(r_1)$ 是和 Δ^2 成正比的。因此, 對於計算二級相變臨界磁場來說, 可令 $\tilde{A}(r_1) = 0$, 即

$$\begin{aligned}
\tilde{G}_{\omega}^0(\mathbf{r}, \mathbf{r}') & = G_{\omega}^0(\mathbf{r}, \mathbf{r}') + \frac{ie\hbar H_c}{mc} \int d\mathbf{l} G_{\omega}^0(\mathbf{r}, \mathbf{l}) (l_1 - d) \frac{\partial}{\partial l_2} G_{\omega}^0(\mathbf{l}, \mathbf{r}') + \\
& + \left(\frac{ie\hbar H_c}{mc}\right)^2 \iint d\mathbf{l} d\mathbf{m} G_{\omega}^0(\mathbf{r}, \mathbf{l}) (l_1 - d) \frac{\partial}{\partial l_2} G_{\omega}^0(\mathbf{l}, \mathbf{m}) (m_1 - d) \frac{\partial}{\partial m_2} G_{\omega}^0(\mathbf{m}, \mathbf{r}') + \\
& + \left(\frac{ie\hbar H_c}{mc}\right)^3 \iiint d\mathbf{l} d\mathbf{m} d\mathbf{s} G_{\omega}^0(\mathbf{r}, \mathbf{l}) (l_1 - d) \frac{\partial}{\partial l_2} G_{\omega}^0(\mathbf{l}, \mathbf{m}) (m_1 - d) \frac{\partial}{\partial m_2} G_{\omega}^0(\mathbf{m}, \mathbf{s}) \times \\
& \quad \times (s_1 - d) \frac{\partial}{\partial s_2} G_{\omega}^0(\mathbf{s}, \mathbf{r}') + \\
& + \left(\frac{ie\hbar H_c}{mc}\right)^4 \iiint d\mathbf{l} d\mathbf{m} d\mathbf{s} d\mathbf{z} G_{\omega}^0(\mathbf{r}, \mathbf{l}) (l_1 - d) \frac{\partial}{\partial l_2} G_{\omega}^0(\mathbf{l}, \mathbf{m}) (m_1 - d) \frac{\partial}{\partial m_2} G_{\omega}^0(\mathbf{m}, \mathbf{s}) \times \\
& \quad \times (s_1 - d) \frac{\partial}{\partial s_2} G_{\omega}^0(\mathbf{s}, \mathbf{z}) (z_1 - d) \frac{\partial}{\partial z_2} G_{\omega}^0(\mathbf{z}, \mathbf{r}') + \\
& \quad + \dots
\end{aligned} \tag{7}$$

在文獻[1]中, 我們把(7)代入(6), 忽略包含 H_c^4 及 H_c 更高方冪的項, 求得二級相變臨界磁場是

$$\frac{H_c^2}{H_{cM}^2} = 3 \frac{\delta_0^2(T)}{d^2} \frac{\xi_0}{d} \frac{1}{\Phi_1(\sigma)}, \tag{8}$$

$\Phi_1(\sigma)$ 是文獻[1]中(39a)式給出的。在得到這個結果時, 我們把公式中所出現的溫度因子 T 以及 $\ln \frac{T_c}{T}$ 分別用 T_c 以及 Δt 替代。由(8)給出的 H_c 是和 $(\Delta t)^{1/2}$ 成正比的。

為了解釋 DB 實驗, 我們需要求出准到 $(\Delta t)^{3/2}$ 項的臨界磁場表达式。這時, 不僅需要對所遇到的溫度因子 T 和 $\ln \frac{T_c}{T}$ 採用更準確的近似, 而且需要保留 K 按 H_c 的展开式中的 H_c^4 項。准到 H_c^4 項, K 可表為

$$K = K_0 + K_2 + K_4, \tag{9}$$

其中

$$K_0 = |g| kT \sum_{\omega} \iint d\mathbf{l} d\mathbf{r}_1 G_{\omega}^0(\mathbf{l}, \mathbf{r}) G_{-\omega}^0(\mathbf{l}, \mathbf{r}),$$

$$\begin{aligned}
K_2 = & 2 \left(\frac{ie\hbar H_c}{mc} \right)^2 |g| kT \sum_{\omega} \int \cdots \int d\mathbf{l} d\mathbf{s} d\mathbf{m} dr_1 G_{\omega}^0(\mathbf{l}, \mathbf{r}) G_{-\omega}^0(\mathbf{l}, \mathbf{s})(s_1 - d) \times \\
& \times \frac{\partial}{\partial s_2} G_{-\omega}^0(\mathbf{s}, \mathbf{m})(m_1 - d) \frac{\partial}{\partial m_2} G_{-\omega}^0(\mathbf{m}, \mathbf{r}) + \\
& + \left(\frac{ie\hbar H_c}{mc} \right)^2 |g| kT \sum_{\omega} \int \cdots \int d\mathbf{l} d\mathbf{s} d\mathbf{m} dr_1 G_{\omega}^0(\mathbf{l}, \mathbf{s})(s_1 - d) \times \\
& \times \frac{\partial}{\partial s_2} G_{\omega}^0(\mathbf{s}, \mathbf{r}) G_{-\omega}^0(\mathbf{l}, \mathbf{m})(m_1 - d) \frac{\partial}{\partial m_2} G_{-\omega}^0(\mathbf{m}, \mathbf{r}), \\
K_4 = & 2 \left(\frac{ie\hbar H_c}{mc} \right)^4 |g| kT \sum_{\omega} \int \cdots \int d\mathbf{l} d\mathbf{m} d\mathbf{s} d\mathbf{z} d\lambda dr_1 G_{\omega}^0(\mathbf{l}, \mathbf{s})(s_1 - d) \times \\
& \times \frac{\partial}{\partial s_2} G_{\omega}^0(\mathbf{s}, \mathbf{r}) G_{-\omega}^0(\mathbf{l}, \mathbf{m})(m_1 - d) \frac{\partial}{\partial m_2} G_{-\omega}^0(\mathbf{m}, \mathbf{z})(z_1 - d) \times \\
& \times \frac{\partial}{\partial z_2} G_{-\omega}^0(\mathbf{z}, \lambda)(\lambda_1 - d) \frac{\partial}{\partial \lambda_2} G_{-\omega}^0(\lambda, \mathbf{r}) + \\
& + 2 \left(\frac{ie\hbar H_c}{mc} \right)^4 |g| kT \sum_{\omega} \int \cdots \int d\mathbf{l} d\mathbf{m} d\mathbf{s} d\mathbf{z} d\lambda dr_1 G_{\omega}^0(\mathbf{l}, \mathbf{s})(s_1 - d) \times \\
& \times \frac{\partial}{\partial s_2} G_{\omega}^0(\mathbf{s}, \mathbf{r}) G_{-\omega}^0(\mathbf{l}, \mathbf{m})(m_1 - d) \frac{\partial}{\partial m_2} G_{-\omega}^0(\mathbf{m}, \mathbf{z})(z_1 - d) \times \\
& \times \frac{\partial}{\partial z_2} G_{-\omega}^0(\mathbf{z}, \lambda)(\lambda_1 - d) \frac{\partial}{\partial \lambda_2} G_{-\omega}^0(\lambda, \mathbf{r}) + \\
& + 2 \left(\frac{ie\hbar H_c}{mc} \right)^4 |g| kT \sum_{\omega} \int \cdots \int d\mathbf{l} d\mathbf{m} d\mathbf{s} d\mathbf{z} d\lambda dr_1 G_{\omega}^0(\mathbf{l}, \mathbf{s})(s_1 - d) \times \\
& \times \frac{\partial}{\partial s_2} G_{\omega}^0(\mathbf{s}, \mathbf{m})(m_1 - d) \frac{\partial}{\partial m_2} G_{\omega}^0(\mathbf{m}, \mathbf{r}) \times \\
& \times G_{-\omega}^0(\mathbf{l}, \mathbf{z})(z_1 - d) \frac{\partial}{\partial z_2} G_{-\omega}^0(\mathbf{z}, \lambda)(\lambda_1 - d) \frac{\partial}{\partial \lambda_2} G_{-\omega}^0(\lambda, \mathbf{r}).
\end{aligned}$$

在(9)式中, 含有 H_c 的奇次方幂项等于零, 我們已經抛去了. K_0 和 K_2 在文献[1]中計算过:

$$K_0 = 2d \left[|g| N(0) \ln \frac{T_C}{T} + 1 \right], \quad (10)$$

$$K_2 = - |g| N(0) \frac{31\zeta(5)}{2\pi\gamma} \frac{e^2 \xi_0 H_0^2 d^4}{\hbar^2 c^2} \frac{T_C}{T} \Phi_1(\sigma), \quad (11)$$

其中 $\gamma = \ln C$, C 是 Euler 常数, 为 0.5772. 为了方便, 我們將 $\Phi_1(\sigma)$ 的表达式重新写出:

$$\begin{aligned}
\Phi_1(\sigma) &= \frac{32}{31\zeta(5)} \sum_{l=0}^{\infty} \frac{\Phi_0\left(\frac{\sigma}{2l+1}\right)}{(2l+1)^5}, \\
\Phi_0\left(\frac{\sigma}{2l+1}\right) &= \frac{16}{\pi^3} \left[G\left(\frac{\sigma}{2l+1}\right) - \frac{\sigma}{2l+1} F\left(\frac{\sigma}{2l+1}\right) \right], \\
G(\eta) &= \sum_{n=0}^{\infty} \frac{1}{(2n+1)^2} \operatorname{tg}^{-1} \frac{1}{(2n+1)\eta}, \quad (12)
\end{aligned}$$

$$F(\eta) = \sum_{n=0}^{\infty} \frac{1}{2n+1} \left[1 - (2n+1)\eta \operatorname{tg}^{-1} \frac{1}{(2n+1)\eta} \right],$$

$$\sigma = 0.364 \frac{2d}{\xi_0} \frac{T}{T_c},$$

$$\xi_0 = \frac{\gamma}{\pi^2} \frac{\hbar v_0}{kT_c} \approx 0.182 \frac{\hbar v_0}{kT_c}.$$

函數 $F(\eta)$ 和 $G(\eta)$ 在 $\eta < 1$ 時可以表示成 (見附錄)

$$F(\eta) = \frac{1}{2} \ln \frac{1}{\eta} + \frac{1}{2} (C + \ln 2 - 1) + \frac{\eta^2}{12} + O(\eta^4),$$

$$G(\eta) = \frac{\pi^3}{16} - \frac{1}{2} \eta \ln \frac{1}{\eta} - \frac{1}{2} (C + \ln 2 + 1)\eta + \frac{1}{36} \eta^3 + O(\eta^5).$$
(13)

因而, 在 $\sigma < 1$ 時, $\Phi_1(\sigma)$ 可近似表為

$$\Phi_1(\sigma) = \frac{32}{31\zeta(5)} \left\{ \sum_{l=0}^{\infty} \frac{1}{(2l+1)^5} - \frac{16\sigma}{\pi^3} \sum_{l=0}^{\infty} \frac{1}{(2l+1)^6} \left[\ln \frac{2l+1}{\sigma} + (C + \ln 2) + \dots \right] \right\}.$$

上式大括號中第一個求和很容易算出, 而第二個求和, 由於本身就比第一個求和的貢獻小, 而且收斂得更快, 取第一項已足夠了. 於是我們得到, $\sigma < 1$ 時,

$$K_2 = -|g|N(0) \frac{31\zeta(5)e^2\xi_0 H_0^2 d^4}{2\pi\gamma\hbar^2 c^2} \left(\frac{T_c}{T} \right) \left\{ 1 - 0.185 \frac{2d}{\xi_0} \left[2.29 + \ln \frac{\xi_0}{2d} + \ln \frac{T_c}{T} + \dots \right] \right\}.$$
(14)

在 T_c 附近, 按 $\Delta t = 1 - \frac{T}{T_c}$ 展開到 Δt 的一級, K_2 可表示成

$$K_2 = -|g|N(0) \frac{31\zeta(5)e^2\xi_0 H_0^2 d^4}{2\pi\gamma\hbar^2 c^2} [1 - \mu(x)][1 + [1 + \epsilon_1(x)]\Delta t],$$
(15)

其中

$$\left. \begin{aligned} \mu(x) &= 0.185 x \left(2.29 + \ln \frac{1}{x} + \dots \right), \\ \epsilon(x) &= \frac{0.185 x \left(1.29 + \ln \frac{1}{x} + \dots \right)}{[1 - \mu(x)]}, \\ x &= \frac{2d}{\xi_0}. \end{aligned} \right\} \quad (16)$$

將 $\ln \frac{T_c}{T}$ 按 Δt 展開, 到 Δt 的二級, K_0 可寫作

$$K_0 = 2d \left\{ 1 + |g|N(0)\Delta t \left(1 + \frac{\Delta t}{2} \right) \right\}.$$
(17)

至於積分 K_4 , 可以用類似於文獻[1]中計算 K_2 的方法求得. 經過略為繁瑣的計算後, 我們得到在 $\sigma \ll 1$ 時,

$$K_4 = |g|N(0) \frac{B}{\pi\gamma^3} \left(\frac{e}{\hbar c}\right)^4 \xi_0^3 H_0^4 d^6 \left(\frac{T_c}{T}\right)^3. \quad (18)$$

其中 B 是个常数, 经过计算, $B \approx 12.5$.

将 (15)–(18) 代入 (9) 和 (5), 得到定薄膜二级相变临界磁场 H_c 的方程:

$$a_1 + a_2 H_c^2 + a_3 H_c^4 = 0, \quad (19)$$

其中

$$\begin{aligned} a_1 &= \Delta t \left(1 + \frac{\Delta t}{2}\right), \\ a_2 &= -\frac{31\zeta(5)}{4\pi\gamma} \frac{e^2 \xi_0 d^3}{\hbar^2 c^2} [1 - \mu(x)] [1 + [1 + \epsilon_1(x)] \Delta t], \\ a_3 &= \frac{B}{2\pi\gamma^3} \left(\frac{e}{\hbar c}\right)^4 \xi_0 d^5. \end{aligned} \quad (20)$$

从 (19) 立即可解出 H_c :

$$H_c = \left(\frac{\hbar c}{e}\right) \frac{2.36}{\xi_0^{1/2} d^{3/2} [1 - \mu(x)]^{1/2}} (\Delta t)^{1/2} (1 + \epsilon \Delta t), \quad (21)$$

其中

$$\begin{aligned} \epsilon &= \epsilon_2 - \frac{\epsilon_1}{2} - 0.25, \\ \epsilon_2 &= \frac{0.0136B}{x[1 - \mu(x)]^2} \approx \frac{0.163}{x[1 - \mu(x)]^2} \end{aligned} \quad (22)$$

ϵ_1 和 $\mu(x)$ 的定义见 (16) 式. 注意到 $\sigma < 1$ 时, $\Phi(\sigma) = 1 - \mu\left(\frac{2d}{\xi_0}\right)$, 易见 (21) 式中的 $(\Delta t)^{1/2}$ 级项和文章 [1] 所给出的 H_c [见本文公式 (8)] 是一致的.

三、理论和实验比较

上一节中, 我们求得了超导薄膜在 T_c 附近的二级相变临界磁场 (21), 这个表达式至少对于厚度满足条件

$$\sigma = 0.364 \frac{2d}{\xi_0} < 1 \quad (23a)$$

以及

$$0.36 p_0(2d) \frac{2d}{\xi_0} \gg 1 \quad (23b)$$

的膜是适用的 [条件 (23b) 在文章 [1] 中讨论过]. 对于 Sn, 由 $\xi_0 \sim 2.3 \times 10^{-5}$ cm, $v_0 \sim 0.65 \times 10^8$ cm/sec^[1], 由 (23) 估计得: 10^{-6} cm $\ll 2d < 6.3 \times 10^{-5}$ cm¹⁾. 在 DB 实验中, Sn 膜的厚度从 1.9×10^{-5} cm 到 4.3×10^{-5} cm, 正是 (21) 式可以应用的范围.

为了和 DB 实验比较, 我们把 (21) 表成 (3) 的形式. 显然, (3) 中的参量 $\delta(0, d)$ 和 ϵ 的理论表达式分别由

1) 实际上只要 2×10^{-6} cm $< 2d < 6.3 \times 10^{-5}$ cm, 公式 (21) 就可以应用.

$$\delta(0, d) = \frac{2.36\hbar c}{1510 e \xi_0^{1/2} (2d)^{1/2} [1 - \mu(x)]^{1/2}} \quad (24)$$

和(22)給出。在圖1中畫出了選取 $\xi_0 = 2.0 \times 10^{-5}$ cm 根據(24)計算的 $\delta(0, d)$ 的曲線(a)以及DB的實驗點。為了對比,還同時畫出了從 $\Gamma J I$ 理論的結果(2),利用 $H_{CM} = 1.74 H_{CM}(0) \Delta t$ 和 $\delta_0 = \delta_L(0) / \sqrt{2\Delta t}$, 選取 $H_{CM}(0) = 307$ gauss^[12] 和 $\delta_L(0) = 3.55 \times 10^{-6}$ cm 所得到的 $\delta(0, d)$ 值,它是一條水平線(c)。可以看到,本文結果與DB實驗符合

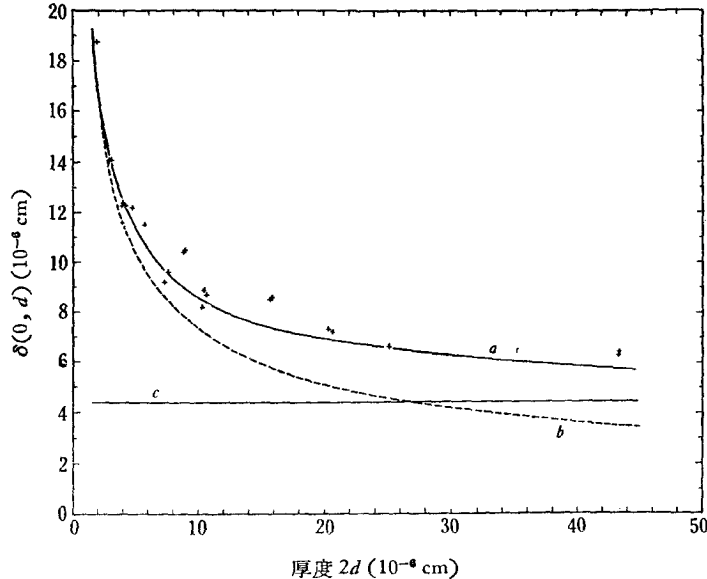


圖1. Sn膜的 $\delta(0, d)$ 的理論值和DB實驗的比較
“+”代表DB實驗點

得很好,特別應當注意到我們是將純粹的理論值與實驗的絕對值而不是約化值比較。我們所用的 $\xi_0 = 2.0 \times 10^{-5}$ cm 與文獻[11]所給的 $\xi_0 = 2.3 \times 10^{-5}$ cm 以及 Faber-Pippard 所給的 $\xi_0 = 2.1 \times 10^{-5}$ cm^[13] 是合理地一致的。

順便,我們想指出,所以能夠使理論和實驗一致,(24)中的因子 $\Phi_1^{1/2}(\sigma) = (1 - \mu(x))^{1/2}$ 起了重要的作用。為了說明這一點,在圖1中我們用虛線(b)標出了按公式

$$\delta(0, d) = \frac{2.36\hbar c}{1510 e \xi_0^{1/2} (2d)^{1/2}} \quad (24a)$$

計算的 $\delta(0, d) \sim d$ 曲線(取 $\xi_0 = 2.0 \times 10^{-5}$ cm),它只有在 d 非常小的時候才與實驗符合。而且,我們指出,即使調節 ξ_0 的數值也不能與實驗一致。由此可見,與(24a)相當的薄膜臨界場公式 ($H_c \sim d^{-3/2}$) 只有當膜的厚度非常小時才成立。

臨界磁場 H_c 的 $(\Delta t)^{3/2}$ 項係數 ϵ 的理論曲線[根據公式(22),也取 $\xi_0 = 2.0 \times 10^{-5}$ cm] 以及DB的實驗資料畫在圖2。可以看出,本文所給的 ϵ 值是隨 d 顯著變化的,當 d 減少

1) 更一般些,從公式(8)可得

$$\delta(0, d) = \frac{2.36\hbar c}{1510 e \xi_0^{1/2} (2d)^{1/2} \Phi_1(\sigma)},$$

此公式對於 $2d \gg 2d^*$ 的膜都是對的。計算表明,在DB實驗所用的膜的厚度範圍內,它和(24)式一致。

时, ϵ 迅速增加, 这些特点与 DB 实验定性趋势上是一致的, 但是, 从定量上看, 本文给出的 ϵ 的数值比 DB 实验值要大.

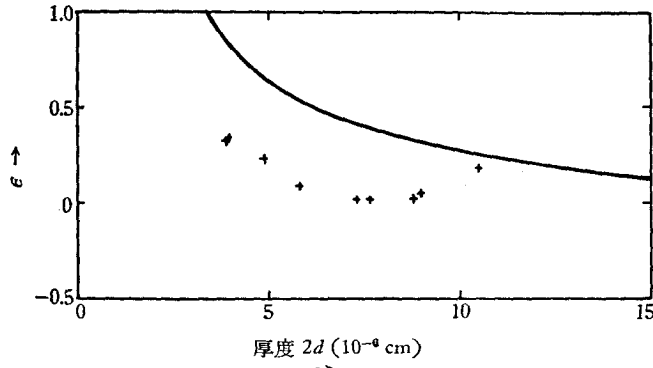


图2. Sn 膜的 ϵ 值随厚度 $2d$ 的变化
“+”代表 DB 实验点

点: (1) 场的四次方项对 ϵ 的贡献是重要的; (2) 薄膜的非局域效应在决定 ϵ 随 d 的变化方面起决定的作用. 正是由于在我们的计算中不仅包含了场的四次方项, 而且考虑了膜的非局域效应, 才得到 ϵ 随 d 减少而迅速增加的结果. 如果用 Горьков 的局域近似来计算, 即使包含场的四次方项, 所得的 ϵ 也不随 d 变化.

为了进一步检验公式 (21), 我们还将它和 Toxen^[4] 对 In 膜的临界磁场测量结果作了比较. 在文献 [8] 中, Toxen 在图上给出了他测量的 In 膜临界磁场 H_c 和大样品 In 的临界磁场 H_{CM} 的比在 $T = 0.9T_c$ 以及 $T = 0.95T_c$ 的实验点. 为了从所得的薄膜临界磁场理论公式 (21) 算出 $\frac{H_c}{H_{CM}}$, 我们利用 Muench^[12] 对大样品 In 的临界磁场资料, 根据 Muench 所给的经验公式, 在 T_c 附近, 大样品 In 的临界磁场可表为

$$H_{CM} = 530\Delta t(1 - 0.395\Delta t), \quad (25)$$

由(21)和(25)得

$$\frac{H_c}{H_{CM}} = \frac{2.36 \hbar c}{530 e \xi_0^{1/2} d^{3/2} [1 - \mu(x)]^{1/2}} \times [1 + (\epsilon + 0.4)\Delta t], \quad (26)$$

根据 (26), 我们计算了在二级相变范围的 $\frac{H_c}{H_{CM}}$. 为了理论与实验很好地符合, 应当选取 $\xi_0 = 2.3 \times 10^{-5}$ cm, 这和 Toxen 自己的工作所要求的 $\xi_0 = 2.6 \times 10^{-5}$ cm 也是一致的.

临界磁场的 $(\Delta t)^{3/2}$ 级项是很小的, 它对临界磁场绝对值的贡献一般都在 10% 以下. 因此, DB 从他们的临界场实验值定 ϵ 可能有比较大的误差. 另外, 也应当提到, 本文的理论没有考虑杂质和应力的影响, 并且假定能隙是常数. 这些因素对临界场的 $(\Delta t)^{3/2}$ 级项的影响也还有待进一步研究. 但是, 上述定性结果至少说明了两

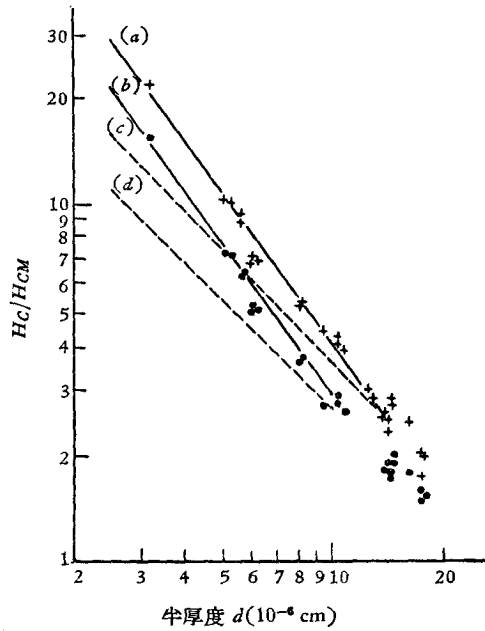


图3. In 膜的 $\frac{H_c}{H_{CM}}$ 值随 d 的变化以及 Toxen 的

- 实验点
(a) 为本文理论曲线 $\Delta t = 0.05$;
(b) 为本文理论曲线 $\Delta t = 0.10$;
(c) 为 Γ 理论曲线 $\Delta t = 0.05$;
(d) 为 Γ 理论曲线 $\Delta t = 0.10$;
“+”为 Toxen 实验点, $\Delta t = 0.05$;
“.”为 Toxen 实验点, $\Delta t = 0.10$

在圖 3 中我們畫出了 $\Delta t = 0.10$ 和 $\Delta t = 0.05$ 時 $\frac{H_c}{H_{CM}} \sim d$ 的兩條理論曲線 (理論曲線只畫出了二級相變區域的情形) 以及從 Toxen 的圖上所讀出的實驗點。圖中還畫出了 Γ I 理論的結果(2)。利用 $\delta_0 = \frac{\delta_L(0)}{\sqrt{2\Delta t}}$, 取 $\delta_L(0) = 3.5 \times 10^{-6} \text{ cm}^{[8]}$ 在 $\Delta t = 0.10$ 和 $\Delta t = 0.05$ 時的曲線以作比較。本文的理論值與 Toxen 實驗值的符合也是令人滿意的。

附錄 函數 $F(\eta)$ 和 $G(\eta)$ 在 $\eta < 1$ 時的展開式

函數 $F(\eta)$ 和 $G(\eta)$ 的定義如下:

$$F(\eta) = \sum_{n=0}^{\infty} \frac{1}{2n+1} \left[1 - (2n+1)\eta \operatorname{tg}^{-1} \frac{1}{(2n+1)\eta} \right], \quad (\text{A.1})$$

$$G(\eta) = \sum_{n=0}^{\infty} \frac{1}{(2n+1)^2} \operatorname{tg}^{-1} \frac{1}{(2n+1)\eta}. \quad (\text{A.2})$$

求它們在 η 大時的展式只要對 $\frac{1}{\eta}$ 作 Taylor 展開即可; 我們略去這個極其簡單的運算。在這裡, 我們只討論 $F(\eta)$ 和 $G(\eta)$ 在 η 小時的展開問題。

$F(\eta)$ 和 $G(\eta)$ 在 η 小時的展開可以用不同的方法得到, 現只介紹其中的一種。

先討論 $F(\eta)$ 。令 $\lambda = \frac{\pi}{\eta}$, 則

$$\begin{aligned} F(\eta) &\equiv F(\lambda) = \sum_{n=0}^{\infty} \frac{\pi}{(2n+1)\pi} \left[1 - \frac{(2n+1)\pi}{\lambda} \operatorname{tg}^{-1} \frac{\lambda}{(2n+1)\pi} \right] \\ &= \lim_{n \rightarrow \infty} \frac{i}{4} \oint_{\Gamma_n} \frac{\operatorname{tg} \frac{z}{2}}{z} \left(1 - \frac{z}{\lambda} \operatorname{tg}^{-1} \frac{\lambda}{z} \right) dz. \end{aligned} \quad (\text{A.3})$$

其中, 多值函數 $\operatorname{tg}^{-1} \frac{\lambda}{z}$ 的單值分支是這樣確定的, 即在 z 平面上作連接 $i\lambda$ 與 $-i\lambda$ 的割縫, 並規定, 當 $z = +\infty$ 時, $\arg \left(\frac{z+i\lambda}{z-i\lambda} \right) = 0$; 又 $\{\Gamma_n\}$ 是如圖 4 所示的矩形圍道序列。

對於上述規定的 $\operatorname{tg}^{-1} \frac{\lambda}{z}$ 的單值分支, 很易證明, 當 $|z|$ 大時:

$$\left(1 - \frac{z}{\lambda} \operatorname{tg}^{-1} \frac{\lambda}{z} \right) \sim \frac{1}{3} \left(\frac{\lambda}{z} \right)^2 + o \left(\frac{\lambda}{z} \right)^4.$$

而且, 不難看出, 在圍道序列 $\{\Gamma_n\}$ 上, $\operatorname{tg} \frac{z}{2}$ 是有界的。因此, 當 $n \rightarrow \infty$ 時, BC , CD 和 DA 上積分的貢獻將趨於零, 只剩下沿 AB 的積分。於是 (A.3) 可化為

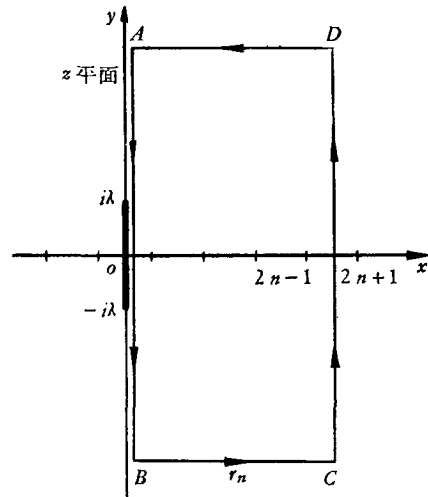


圖 4. 圍道 Γ_n
圖中連接 $i\lambda$ 與 $-i\lambda$ 的粗黑線表示割縫

$$F(\lambda) = \frac{i}{4} \int_{i\infty}^{-i\infty} \frac{z}{z} \operatorname{tg} \frac{z}{2} \left(1 - \frac{z}{\lambda} \operatorname{tg}^{-1} \frac{\lambda}{z}\right) dz, \quad (\text{A.4})$$

积分路径是沿着虚轴, 在割缝的右岸. 注意到所规定的 $\operatorname{tg}^{-1} \frac{\lambda}{z}$ 的单值分支沿虚轴的特性, 显然有

$$F(\lambda) = \frac{1}{2} \int_0^\lambda \frac{\operatorname{th} \frac{y}{2}}{y} dy - \frac{1}{2\lambda} \int_0^\lambda \operatorname{th} \frac{y}{2} \operatorname{th}^{-1} \frac{y}{\lambda} dy - \frac{1}{2\lambda} \int_\lambda^\infty \operatorname{th} \frac{y}{2} \left(\operatorname{th}^{-1} \frac{\lambda}{y} - \frac{\lambda}{y}\right) dy. \quad (\text{A.5})$$

下面分别计算 (A.5) 中每一个积分. (A.5) 中的第一项

$$I_1 = \frac{1}{2} \int_0^\lambda \frac{\operatorname{th} \frac{y}{2}}{y} dy = \frac{1}{2} \ln \lambda \operatorname{th} \frac{\lambda}{2} - \frac{1}{4} \int_0^\infty \frac{\ln y}{\operatorname{ch}^2 \frac{y}{2}} dy + \frac{1}{2} \int_\lambda^\infty \ln y \left(\operatorname{th} \frac{y}{2}\right)' dy,$$

利用展式

$$\operatorname{th} \frac{y}{2} = 1 + 2 \sum_{n=1}^{\infty} (-)^n e^{-ny} \quad (y > 0), \quad (\text{A.6})$$

进行逐项积分(这时逐项积分是允许的), 得到

$$I_1 = \frac{1}{2} \ln \frac{\lambda}{\pi} + \frac{1}{2} (C + \ln 2) + \sum_{n=1}^{\infty} (-)^n E_i(-n\lambda), \quad (\text{A.7})$$

抛去 $0(e^{-\lambda})$ 以上的项, 我们有

$$I_1 = \frac{1}{2} \ln \frac{\lambda}{\pi} + \frac{1}{2} (C + \ln 2) + 0(e^{-\lambda}). \quad (\text{A.8})$$

(A.5) 中的第二项是

$$I_2 = -\frac{1}{2\lambda} \int_0^\lambda \operatorname{th} \frac{y}{2} \operatorname{th}^{-1} \frac{y}{\lambda} dy = -\frac{1}{2\lambda} \int_0^\lambda \operatorname{th}^{-1} \frac{y}{\lambda} dy - \frac{1}{\lambda} \sum_{n=1}^{\infty} (-)^n \int_0^\lambda e^{-ny} \operatorname{th}^{-1} \frac{y}{\lambda} dy. \quad (\text{A.9})$$

利用展式

$$\operatorname{th}^{-1} \left(\frac{y}{\lambda}\right) = \sum_{s=0}^{\infty} \frac{1}{(2s+1)} \left(\frac{y}{\lambda}\right)^{2s+1} \quad (y < \lambda), \quad (\text{A.10})$$

逐项积分(不难证明逐项积分是允许的), (A.9) 化为

$$I_2 = -\frac{1}{2} \sum_{s=0}^{\infty} \frac{1}{(2s+1)(2s+2)} - \sum_{n=1}^{\infty} (-)^n \sum_{s=0}^{\infty} \frac{1}{(2s+1)(n\lambda)^{2s+2}} \{(2s+1)! - e^{-n\lambda} [(n\lambda)^{2s+1} + 2s(n\lambda)^{2s} + \dots + (2s+1)!]\}. \quad (\text{A.11})$$

忽略 $0\left(\frac{1}{\lambda^{2N}}\right)$ 以及 $0(e^{-\lambda})$ 以上的小量, 则

$$I_2 = -\frac{1}{2} \sum_{s=0}^{\infty} \frac{1}{(2s+1)(2s+2)} + \sum_{s=0}^{N-1} \left(\frac{\pi}{\lambda}\right)^{2s+2} \frac{(2^{s+1}-1)}{(2s+1)(2s+2)} |B_{2s+2}| + 0\left(\frac{1}{\lambda^{2N+2}}, e^{-\lambda}\right), \quad (\text{A.12})$$

其中 B_k 是伯努利數, $B_2 = \frac{1}{6}$, $B_4 = -\frac{1}{30}$, \dots . 對於 (A.5) 右邊的第三個積分

$$I_3 = -\frac{1}{2\lambda} \int_{\lambda}^{\infty} \operatorname{th} \frac{y}{2} \left(\operatorname{th}^{-1} \frac{\lambda}{y} - \frac{\lambda}{y} \right) dy$$

可以按同樣的方式將它表作級數形式

$$I_3 = -\frac{1}{2} \sum_{s=1}^{\infty} \frac{1}{2s(2s+1)} - \sum_{n=1}^{\infty} (-)^n e^{-n\lambda} \sum_{s=1}^{\infty} \frac{1}{2s(2s+1)} \left[1 - \frac{n\lambda}{(2s-1)} + \frac{(n\lambda)^2}{(2s-1)(2s-2)} - \dots + \frac{(n\lambda)^{2s}}{(2s-1)!} \right] \quad (\text{A.13})$$

$$= -\frac{1}{2} \sum_{s=1}^{\infty} \frac{1}{2s(2s+1)} + o(e^{-\lambda}). \quad (\text{A.14})$$

總結以上計算, 可得

$$F(\lambda) = I_1 + I_2 + I_3 = \frac{1}{2} \ln \frac{\lambda}{\pi} + \frac{1}{2} (C + \ln 2 - 1) + \sum_{s=0}^{N-1} \left(\frac{\pi}{\lambda} \right)^{2s+2} \frac{(2^{2s+1} - 1) |B_{2s+2}|}{(2s+1)(2s+2)} + o\left(\frac{1}{\lambda^{2N+2}}, e^{-\lambda} \right), \quad (\text{A.15})$$

寫出這個表达式時還利用等式 $\sum_{k=1}^{\infty} \frac{1}{k(k+1)} = 1$. 於是在 $\eta < 1$ 時,

$$F(\eta) = \frac{1}{2} \ln \frac{1}{\eta} + \frac{1}{2} (C + \ln 2 - 1) + \sum_{s=0}^{N-1} \frac{(2^{2s+1} - 1) |B_{2s+2}|}{(2s+1)(2s+2)} \eta^{2s+2} + o\left(\eta^{2N+2}, e^{-\frac{\pi}{\eta}} \right). \quad (\text{A.16})$$

這就是所要求的展式.

用完全類似的辦法, 可以求出 $\eta < 1$ 時 $G(\eta)$ 的展式:

$$G(\eta) = \frac{\pi^3}{16} - \frac{\eta}{2} \ln \frac{1}{\eta} - \frac{\eta}{2} (C + \ln 2 + 1) + \sum_{s=1}^{N-1} \frac{(2^{2s-1} - 1) |B_{2s}|}{2s(2s+1)} \eta^{2s+1} + o\left(\eta^{2N+3}, e^{-\frac{\pi}{\eta}} \right). \quad (\text{A.17})$$

我們寫出 (A.15) 和 (A.16) 的前幾項

$$F(\eta) = \frac{1}{2} \ln \frac{1}{\eta} + \frac{1}{2} (C + \ln 2 - 1) + \frac{1}{12} \eta^2 + \frac{7}{360} \eta^4 + o\left(\eta^6, e^{-\frac{\pi}{\eta}} \right), \quad (\text{A.18})$$

$$G(\eta) = \frac{\pi^3}{16} - \frac{\eta}{2} \ln \frac{1}{\eta} - \frac{\eta}{2} (C + \ln 2 + 1) + \frac{1}{36} \eta^3 + o\left(\eta^5, e^{-\frac{\pi}{\eta}} \right). \quad (\text{A.19})$$

參 考 文 獻

- [1] 吳杭生、雷嘯霖, 物理學報, **20** (1964), 873.
- [2] London, F., Superfluids, vol. 1.
- [3] Гинзбург, В. Л., Ландау, Л. Д., ЖЭТФ, **20** (1950), 1064.
- [4] Toxen, A. M., Phys. Rev., **123** (1961), 442.
- [5] Ittner, W. B., Phys. Rev., **119** (1960), 1591.

- [6] Douglass, D. H., Blumberg, R. H., *Phys. Rev.*, **127** (1962), 2038.
[7] Tinkhm, M., *Phys. Rev.*, **110** (1958), 26.
[8] Toxen, A. M., *Phys. Rev.*, **127** (1962), 382.
[9] Schrieffer, J. R., *Phys. Rev.*, **106** (1957), 47.
[10] Douglass, D. H., *Phys. Rev. Letters*, **6** (1961), 346.
[11] Bardeen, J., Schrieffer, J. R., *Progress in Low Temp. Phys.* (edited by Gorter. C. J. North-Holland Publishing Company, 1961), **3**, p. 243.
[12] Muench, N. L., *Phys. Rev.*, **99** (1955), 1814.
[13] Bardeen, J., *Encyclopedia of Physics* (edited by Flügge. S., Spring-Verlag, 1956), **15**, p. 318.

ТЕОРИЯ СВЕРХПРОВОДИМОСТИ ТОНКОЙ МЕТАЛЛИЧЕСКОЙ ПЛЁНКИ В СИЛЬНОМ МАГНИТНОМ ПОЛЕ (II)

— КРИТИЧЕСКОЕ МАГНИТНОЕ ПОЛЕ СВЕРХПРОВОДЯЩЕЙ ПЛЁНКИ —

Лэй Сяо-линь У Хан-шэн

Резюме

В данной работе рассчитано критическое магнитное поле сверхпроводящей плёнки при фазовом переходе второго рода на основе теории, предложенной в предыдущей статье, и получен дополнительный член порядка $(\Delta t)^{\frac{3}{2}}$ (магнитное поле параллельно поверхности плёнки, $\Delta t = 1 - \frac{T}{T_c}$). Полученные результаты согласуются с экспериментальными данными.